

การศึกษาโครงสร้างของผลึก C_6H_5HgBr โดยการเลี้ยวเบนรังสีเอ็กซ์



นาย คิน ศิริรัตน์ประสิทธิ์

วิทยานิพนธ์นี้เป็นส่วนหนึ่งของการศึกษาตามหลักสูตรปริญญาวิทยาศาสตรมหาบัณฑิต

ภาควิชาฟิสิกส์

บัณฑิตวิทยาลัย จุฬาลงกรณ์มหาวิทยาลัย

พ.ศ. 2525

ISBN 974-561-210-3

007149

15242031

AN X-RAY DIFFRACTION STUDY OF THE CRYSTAL STRUCTURE OF C_6H_5HgBr

Mr. Khin Sriratanaprasithi

A Thesis Submitted in Partial Fulfillment of the Requirements

for the Degree of Master of Science

Department of Physics

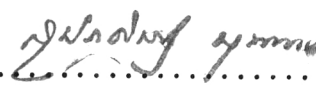
Graduate School

Chulalongkorn University


1982


หัวข้อวิทยานิพนธ์ การศึกษาโครงสร้างของผลึก C_6H_5HgBr โดยการเลี้ยวเบนรังสีเอ็กซ์
โดย นาย คีน ศิริรัตนประสิทธิ์
ภาควิชา ฟิสิกส์
อาจารย์ที่ปรึกษา รองศาสตราจารย์ ดร.พินะ ภาวะนันท์

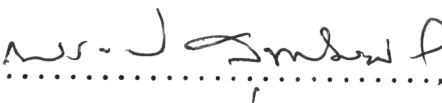
บัณฑิตวิทยาลัย จุฬาลงกรณ์มหาวิทยาลัย อนุมัติให้บัณฑิตวิทยาลัยฉบับนี้เป็นส่วนหนึ่งของการศึกษาตามหลักสูตรปริญญาวิทยาศาสตรบัณฑิต


.....  คณบดีบัณฑิตวิทยาลัย
(รองศาสตราจารย์ ดร.สุประดิษฐ์ ชุมนาค)

คณะกรรมการสอบวิทยานิพนธ์

.....  ประธานกรรมการ
(ผู้ช่วยศาสตราจารย์ ดร. ศิรินวล ถานอมกุล)

.....  กรรมการ
(อาจารย์ ดร. ศาสี วงศ์ไชยบูรณ์)

.....  กรรมการ
(นาย ณรงค์ สุ่มพันธ์)

.....  กรรมการ
(รองศาสตราจารย์ ดร.พินะ ภาวะนันท์)

ลิขสิทธิ์ของบัณฑิตวิทยาลัย จุฬาลงกรณ์มหาวิทยาลัย

หัวข้อวิทยานิพนธ์ การศึกษาโครงสร้างของผลึก C_6H_5HgBr โดยการเลี้ยวเบนรังสีเอ็กซ์
 ชื่อผลิต นาย คัน ศิริรัตนประสิทธิ์
 อาจารย์ที่ปรึกษา รองศาสตราจารย์ ดร.ไพฑูริย์ ภวระนันท์
 ภาควิชา ฟิลิกส์
 ปีการศึกษา 2524



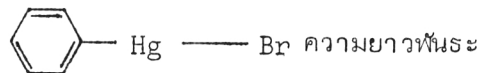
บทคัดย่อ

ผลึกของฟีนายล์ เมอร์คิวไรด์ โบรไมด์ (C_6H_5HgBr) เป็นแผ่นบาง โปร่งใส ไม่มีสี การศึกษาโครงสร้างของผลึกดังกล่าว โดยเทคนิคการเลี้ยวเบนด้วยรังสีเอ็กซ์ จากข้อมูลที่เก็บได้ ในขณะที่วัดผลได้พบว่าผลึกมีหมู่สมมาตรสามมิติ (space group) เป็น Cmm2 ในระบบผลึกออร์โธโรมบิก (orthorhombic) $a = 7.0151 \pm 0.0020 \text{ \AA}$, $b = 7.0046 \pm 0.0009 \text{ \AA}$, $c = 14.4495 \pm 0.0030 \text{ \AA}$ ในหนึ่งหน่วยเซลล์มี 4 โมเลกุล ความหนาแน่นหาจากวิธีการลอยตัวมีค่า 3.1 กรัม/มล. ความหนาแน่นจากการคำนวณเป็น 3.3 กรัม/มล.

โดยวิธีการอะตอมหนัก และข้อมูลความเข้มจากฟิล์มที่ได้จากการบันทึก การเลี้ยวเบนรังสีเอ็กซ์ จากระนาบฮิลล์ระต่าง ๆ ในผลึกเดี่ยว 160 ระนาบ เก็บโดยเทคนิคไวซ์เชินเบิร์ก และรังสีเอ็กซ์ K_{α} จากเป้าทองแดง และวัดความเข้มของจุดสะท้อนเหล่านี้สัมพันธ์กับความเข้มมาตรฐานที่เตรียมขึ้น พบว่าอะตอมหนักทั้งหมดอยู่ในตำแหน่งพิเศษที่ $x = 0.0$ และ 0.5 โดยมี Hg ที่ตำแหน่งจุด $2a$ และ $2b$ คือ $(0, 0, z)$ และ $(0, \frac{1}{2}, z)$ ตำแหน่งจุดละ 2 อะตอม

ในทำนองเดียวกันกับ Br ส่วนระนาบวงแหวนเบนซีนนั้นโดยสมมาตร และพิคในแผนภาพแพทเทอร์สัน บ่งว่ามี C 4 อะตอม สัดตัวเช่นเดียวกันกับอะตอมหนัก ส่วน ตำแหน่งอะตอม C ที่เหลือของระนาบวงแหวน พิจารณาได้จากแผนภาพความหนาแน่นอิเล็กตรอนพบว่าอยู่ตำแหน่งทั่วไป $8f$ ในการคำนวณปรับโครงสร้าง ใช้วิธีผลต่างกำลังสองน้อยที่สุด ซึ่งใช้เมทริกซ์เต็มชุด โดยที่อะตอม C ที่ตำแหน่ง $8f$ ได้จากการคำนวณทางทฤษฎี ผลการคำนวณปรับโครงสร้างจนถึงในขณะนี้ ให้ค่าดัชนีความเชื่อถือเป็น 0.1418

โครงสร้างของโมเลกุลมีลักษณะเป็น



ระหว่างอะตอมอยู่ในเกณฑ์เดียวกับที่พบในสารอื่น ส่วนโครงสร้างของผลึกจะมีการวางตัวเป็น
ชั้น ๆ โดยมีระนาบวงแหวนเบนซีนของแต่ละโมเลกุลขนานกัน และเอียงทำมุมประมาณ 45°
กับระนาบ YZ

กิตติกรรมประกาศ

วิทยานิพนธ์ฉบับนี้สำเร็จได้ด้วยความกรุณาของรองศาสตราจารย์ ดร.พินิจ ภาวะนันท์ ที่ได้ให้คำแนะนำและความรู้เกี่ยวกับวิชาการ และการทำงานต่าง ๆ ด้วยดีตลอดมา จึงขอขอบพระคุณมา ณ ที่นี้


ผลึกที่ใช้ศึกษานี้ รองศาสตราจารย์ ดร.ศัสกัญ ทรพรหมทัต ได้มอบให้ทางห้องปฏิบัติการ ผลึกวิทยารังสี เอ็กซ์ไวคศึกษา ซึ่งอาจารย์ พรรณี มุกดีพร้อม เป็นผู้เตรียมขึ้น จึงขอขอบพระคุณอาจารย์ทั้งสองท่านมา ณ ที่นี้ด้วย

และขอขอบพระคุณ รองศาสตราจารย์สุพินิจ พรหมทัต ที่กรุณาให้คำปรึกษาและคำแนะนำเกี่ยวกับโปรแกรมคอมพิวเตอร์ ตลอดจนเจ้าหน้าที่ที่สถาบันบริการคอมพิวเตอร์ จุฬาฯ ที่ได้ให้คำปรึกษาต่าง ๆ ในการวิจัยนี้ได้รับความอนุเคราะห์ให้ใช้สารเคมีบางอย่างจากกองฟิสิกส์ สำนักงานพลังงานปรมาณูเพื่อสันติ บางเขน จึงขอขอบพระคุณ อาจารย์ วัลลภ บุญคง หัวหน้ากองฟิสิกส์มา ณ ที่นี้ด้วย

วิทยานิพนธ์ฉบับนี้คงสำเร็จช้ากว่านี้ ถ้าไม่ได้รับความช่วยเหลือจากเพื่อน ๆ โดยเฉพาะ คุณวิมล วิเศษภูพิทยาพงษ์ ที่ช่วยวาดรูปประกอบให้ จึงขอขอบคุณมา ณ ที่นี้ด้วย

อนึ่ง ในระหว่างปีการศึกษา 2521 - 2522 ผู้เขียนได้รับทุนการศึกษา ของโครงการผลิตและพัฒนาอาจารย์ จึงขอขอบพระคุณต่อโครงการนี้ด้วย

สารบัญ

	หน้า
บทคัดย่อ	ง
กิตติกรรมประกาศ	ข
รายการตารางประกอบ	ท
รายการรูปประกอบ	ณ
	
บทที่	
1. บทนำ	1
2. แบบโครงสร้างของธาตุและสารประกอบ	5
2.1 แบบโครงสร้างของธาตุ	6
2.1.1 คิวบิกโคลล์เซลล์แพคคิง	7
2.1.2 เฮกแซกโกนัลโคลล์เซลล์แพคคิง	9
2.1.3 บอดีเซ็นเตอร์คิวบิก	11
2.1.4 แบบโครงสร้างเพชร	13
2.1.5 แบบโครงสร้างแกรไฟไฟท์	15
2.2 แบบโครงสร้างของสารประกอบที่มีสูตรเป็น RX	16
2.2.1 แบบโครงสร้าง NaCl	16
2.2.2 แบบโครงสร้าง CsCl	18
2.2.3 แบบโครงสร้าง ZnS	20
2.2.4 แบบโครงสร้าง ZnO	21
2.3 โครงสร้างบางสารที่ประกอบด้วยระนาบวงแหวนเบนซีน	23
3. โปรแกรมและขั้นตอนการคำนวณด้วยเครื่องคอมพิวเตอร์	27
3.1 โปรแกรม CSPHABSW	27
3.1.1 การใช้และลักษณะโปรแกรม CSPHABSW	28

สารบัญ(ต่อ)

	หน้า
3.2 โปรแกรม CSPHFOUR	29
3.2.1 การใช้และลักษณะโปรแกรม CSPHFOUR	29
3.3 โปรแกรม CSPHLSQ	30
3.3.1 การใช้และลักษณะโปรแกรม CSPHLSQ	35
3.4 โปรแกรม CSPHGUNE	37
3.4.1 การใช้และลักษณะโปรแกรม CSPHGUNE	37
3.5 โปรแกรม CSPHCENE	38
3.5.1 การใช้และลักษณะโปรแกรม CSPHCENE	38
3.6 โปรแกรม CSPHDIST	40
3.6.1 การใช้และลักษณะโปรแกรม CSPHDIST	40
4. การทดลองและการศึกษาโครงสร้างผลึก	
4.1 สักขณะทั่วไปและการเลือกผลึกเดี่ยว	42
4.2 การถ่ายภาพแบบหมุนมุมแคบ	43
4.2.1 การปรับแกนผลึก	43
4.2.2 การคำนวณค่าความยาวแกนผลึกที่ขนานกับแกนหมุน	45
4.3 การถ่ายภาพแบบไวซ์เซ็นเบิร์ก	46
4.3.1 การคำนวณค่ามิติของหน่วยเซลล์ b, c และมุม α	47
4.4 การหาค่ามิติของหน่วยเซลล์อย่างละเอียด	50
4.5 การตรวจหาหมู่สัมมาตรสามมิติ	57
4.5.1 การเก็บข้อมูลความเข้มของจุดสะท้อน	66
4.6 การหาความหนาแน่นของผลึก C_6H_5HgBr	68
4.6.1 การหาความหนาแน่นของผลึก C_6H_5HgBr	68
4.6.2 การคำนวณจำนวนโมเลกุลใน 1 หน่วยเซลล์	68

สารบัญ (ต่อ)

	หน้า
4.7 การหาค่าแฟคเตอร์อุณหภูมิโดยใช้วิลสันพลอต (Wilson plot).....	69
4.8 การพิจารณาตำแหน่งอะตอมจากแผนภาพแพทเทอร์สันและแผนภาพความ หนาแน่นอิเล็กตรอน.....	73
5. สรุปและอภิปรายผลการทดลอง	89
เอกสารอ้างอิง	113
ภาคผนวก	108
ประวัติผู้เขียน	116

รายการตารางประกอบ

ตารางที่		หน้า
1.1	แสดงผลการคำนวณความยาวพันธะของสาร C_6H_5HgBr ในสถานะไอ	3
2.1	แสดงธาตุและมิติของหน่วยเซลล์ที่มีการจัดตัวแบบคิวบิกโคลล์เซลล์แพคคิง	9
2.2	แสดงธาตุและมิติของหน่วยเซลล์ที่มีโครงสร้างแบบเอ็กแซกโกนัลโคลล์เซลล์แพคคิง .	11
2.3	แสดงธาตุและมิติของหน่วยเซลล์ที่มีโครงสร้างแบบบอดีเซ็นเตอร์คิวบิก	12
2.4	แสดงธาตุและมิติของหน่วยเซลล์ที่มีโครงสร้างแบบเพชร	15
2.5	แสดงสารประกอบและมิติเซลล์ที่มีแบบโครงสร้าง $NaCl$	18
2.6	แสดงสารประกอบและมิติเซลล์ที่มีแบบโครงสร้าง $CsCl$	19
2.7	แสดงสารประกอบและมิติเซลล์ที่มีโครงสร้างแบบโครงสร้าง ZnS	21
2.8	แสดงสารประกอบและมิติเซลล์ที่มีโครงสร้างแบบโครงสร้าง ZnO	22
2.9	แสดงอัตราส่วนของรัศมีไอออนบวกและไอออนลบของสารประกอบที่มีแบบโครงสร้าง $NaCl$, $CsCl$ และ ZnS	22
2.10	แสดงพารามิเตอร์ของหน่วยเซลล์ หมุ่ลุ่มมาตรฐานมิติ และระยะห่างระหว่างระนาบวงแหวนเบนซีนของสาร $C_6H_5NO_2$	24
2.11	แสดงพารามิเตอร์ของหน่วยเซลล์, หมุ่ลุ่มมาตรฐานมิติ และระยะห่างระหว่างระนาบวงแหวนเบนซีนของสาร $C_6H_5ICl_2$	25
2.12	แสดงพารามิเตอร์ของหน่วยเซลล์, หมุ่ลุ่มมาตรฐานมิติและระยะห่างระหว่างระนาบวงแหวนเบนซีนของสาร $KH(C_6H_5COO)_2$	26
4.1	แสดงผลการคำนวณมิติของหน่วยเซลล์ a จากภาพถ่ายแบบหมุน	46
4.2	แสดงมุมที่ต้องเอียงกล้อง (μ_n) และระยะที่เลื่อนตัวกันเลย์เออร์ (S_n) เพื่อถ่ายภาพที่เลย์เออร์ที่ n เมื่อใช้รังสีเอ็กซ์ชนิด CuK_{α} ($\lambda=1.5418 \text{ \AA}$) ...	47
4.3	แสดงผลการคำนวณมิติของหน่วยเซลล์ b และ c จากภาพถ่ายไวซ์เซ็นเบิร์กที่เลย์เออร์ 0	49

รายการตารางประกอบ (ต่อ)

ตารางที่		หน้า
4.4	แสดงค่า h k l , d_o , d_c $\sin^2\theta_o$, $\sin^2\theta_c$ และ $S-S_o$ จากภาพถ่ายผลึกผงที่ใช้กล้องกีเเนียร์-เฮกส์มัน XDC 700	52
4.5	แสดงเงื่อนไขการเกิดจุดสะท้อนที่เลย์เออร์ต่าง ๆ	59
4.6	แสดงผลการคำนวณค่า $N(Z)$ ที่ได้จากการทดลอง	61
4.7	แสดงข้อมูลที่ใช้ในการทดลอง $N(Z)$	62
4.8	แสดงค่า $N(Z)$ จากทฤษฎี	66
4.9	แสดงค่า $\ln \frac{\bar{I}_{rel}}{\Sigma f_o_j^2}$ ที่ค่า $\sin \theta$ ต่าง ๆ	73
4.10	แสดงค่าดัชนีความเชื่อมต่อเมื่อใส่ตำแหน่งอะตอมหนัก	78
4.11	แสดงตำแหน่งของ C_{11} , C_{12} , C_{22} , C_{23} ที่ได้จากการคำนวณที่องศาต่าง ๆ และค่าดัชนีความเชื่อมต่อ	81
5.1	แสดงข้อมูลผลึกเดี่ยวทั่วไปของ C_6H_5HgBr	89
5.2	แสดงตำแหน่งอะตอมและความเป็ยงเบนมาตรฐานหลังจากปรับตำแหน่งอะตอม .	91
5.3	แสดงตำแหน่ง C_{12} , C_{13} , C_{22} และ C_{23} ที่ได้จากการคำนวณ	92
5.4	แสดงตำแหน่งอะตอม H ที่ได้จากการคำนวณ	93
5.5	แสดงการเปรียบเทียบความยาวพันธะระหว่างอะตอมในสารอื่นและสารเดียวกันในสถานะอื่นในระดับโครงสร้างโมเลกุล	95
5.6	แสดงความยาวพันธะและความเป็ยงเบนมาตรฐานระหว่างอะตอมต่าง ๆ	101
5.7	แสดงผลการคำนวณมุมระหว่างพันธะของอะตอมต่าง ๆ ในหน่วยองศา	103

รายการรูปประกอบ

	หน้า
รูปที่ 1.1 (ก) กราฟรูปที่ 1 คำนวณจากทฤษฎีโดยอาศัยความสัมพันธ์ตามสมการที่ 1.1	1
กราฟรูปที่ 2 คำนวณจากทฤษฎีโดยอาศัยความสัมพันธ์ตามสมการที่ 1.2	1
กราฟรูปที่ 3 ได้จากการเฉลี่ยผลการทดลอง	1
1.1 (ข) แสดงการกระจายตามแนวรัศมีของการทดลอง (radial distribution) ซึ่งได้จากฟูเรียร์ซายน์ทรานส์ฟอร์ม (Fourier sine transform) ของ กราฟรูปที่ 3	1
รูปที่ 1.2 อินฟราเรดสเปกตรัมของสาร C_6H_5HgBr	4
รูปที่ 2.1 แสดงแผนภาพของโครงสร้างผลึก C_6H_5HgBr ที่พิจารณาให้กลุ่ม C_6H_5 เป็น R และ Hg-Br เป็น X บนระนาบ YZ ที่ $X=0$	5
รูปที่ 2.2 แสดงช่องว่างในเลย์เออร์ที่ช่องที่อะตอมจะไปแทนที่ได้	6
รูปที่ 2.3 (ก) แสดงภาพฉายลงบนระนาบของหน่วยเซลล์ที่มีโครงสร้างแบบ คิวบิกโคลล์เซลล์- แพคคิง	8
(ข) แสดงการเรียงตัวของอะตอมเป็นเลย์เออร์แบบ 12312312... ของ คิวบิกโคลล์เซลล์แพคคิง พิจารณาตามแกน 3 ทบ	8
(ค) แสดงระนาบของหน่วยเซลล์ โครงสร้างแบบคิวบิกโคลล์เซลล์แพคคิง	8
รูปที่ 2.4 (ก) แสดงหน่วยเซลล์ของ ฮีทซ์เบิร์กโกนัลโคลล์เซลล์แพคคิง	9
(ข) แสดงมิติของหน่วยเซลล์ a, b ซึ่งเท่ากัน	9
รูปที่ 2.5 แสดงการเรียงตัวของอะตอมในโครงสร้างแบบบอดีเซ็นเตอร์	11
รูปที่ 2.6 (ก) แสดงหน่วยเซลล์แบบโครงสร้างเพชร	14
(ข) แสดงความสัมพันธ์ระหว่างค่ารัศมีอะตอม (r) กับค่ามิติของหน่วยเซลล์	14
รูปที่ 2.7 แสดงหน่วยเซลล์ของแบบโครงสร้างแกรไฟไฟท์	15
รูปที่ 2.8 แสดงการเรียงตัวของอะตอมแบบโครงสร้าง NaCl	16
รูปที่ 2.9 แสดงการเรียงตัวของอะตอมในแบบโครงสร้าง CsCl	18
รูปที่ 2.10(ก) แสดงหน่วยเซลล์ของแบบโครงสร้าง ZnS	20

รายการรูปประกอบ (ต่อ)

	หน้า
(ข) แสดงภาพฉายของหน่วยเซลล์บนระนาบ $z = 0$	20
รูปที่ 2.11 (ก) แสดงหน่วยเซลล์ของแบบโครงสร้าง ZnO	21
(ข) แสดงการตัดตัวของอะตอม	21
รูปที่ 2.12 (ก) แสดงภาพฉายตามแกน a ของโครงสร้างผลึกของสาร $C_6H_5NO_2$	23
(ข) แสดงภาพฉายตามแกน b ของโครงสร้างผลึกของสาร $C_6H_5ICl_2$	25
(ค) แสดงภาพฉายตามแกน b ของโครงสร้างผลึกของสาร $KH(C_6H_5COO)_2$	26
รูปที่ 3.1 แผนผังแสดงขั้นตอนการคำนวณด้วยโปรแกรมคอมพิวเตอร์	41
รูปที่ 4.1 แสดงการปรับแกนผลึกโดยให้อาร์คทำมุม 45° กับรังสีเอ็กซ์	43
รูปที่ 4.2 (ก) แสดงความสัมพันธ์ระหว่างระยะห่างในสเปซส่วนกลับ (reciprocal space) กับระยะบนฟิล์มของเลย์เออร์ที่ 0 กับเลย์เออร์ที่ n ในภาพถ่ายแบบหมุน	45
รูปที่ 4.3 (ก) แสดงความสัมพันธ์ของจุดสะท้อน 2 จุด ที่มีตำแหน่งสมมูลกัน (equivalent positions) ของเลย์เออร์ 0 ในภาพถ่ายไวซ์-เซ็นเบิร์ก	48
(ข) แสดงการเกิดจุดสะท้อนในภาพถ่ายไวซ์-เซ็นเบิร์ก	48
รูปที่ 4.4 แสดงภาพถ่ายผลึกผง C_6H_5HgBr ถ่ายด้วยกล้องกีเฟียร์-เฮกท์ ใช้รังสีเอ็กซ์ชนิด $CuK_{\alpha 1}$ ($\lambda=1.54051 \text{ \AA}$)	50
รูปที่ 4.5 (ก) แสดงภาพถ่ายไวซ์-เซ็นเบิร์กที่เลย์เออร์ 0 ของผลึก C_6H_5HgBr ให้ a เป็นแกนหมุน ใช้เวลาถ่ายภาพ 81 ชั่วโมง จากรังสีเอ็กซ์ชนิด CuK_{α} ($\lambda=1.5418 \text{ \AA}$)	53
(ข) แสดงภาพถ่ายไวซ์-เซ็นเบิร์กที่เลย์เออร์ 1 ของผลึก C_6H_5HgBr ให้ a เป็นแกนหมุน ใช้เวลาถ่ายภาพ 81 ชั่วโมง จากรังสีเอ็กซ์ชนิด CuK_{α} ($\lambda=1.5418 \text{ \AA}$)	54

รายการรูปประกอบ (ต่อ)

	หน้า
รูปที่ 4.6 (ก) แสดงพิกัดของจุดจากภาพถ่ายไวซ์เซ็นเบิร์กเลย์เออร์ที่ 0 แสดงแนวโดยใช้ ไวซ์เซ็นเบิร์กชาร์ท \odot เป็นจุดสะท้อนที่มีความเข้มมากกว่าความเข้มเฉลี่ย ($I_{\max} = 4998$ $I_{\min} = 36$ $I_{\text{av.}} = 639$)	55
(ข) แสดงพิกัดของจุดจากภาพถ่ายไวซ์เซ็นเบิร์กเลย์เออร์ที่ 1 แสดงแนวโดยใช้ ไวซ์เซ็นเบิร์กชาร์ท \odot เป็นจุดสะท้อนที่มีความเข้มมากกว่าความเฉลี่ย ($I_{\max} = 3069$ $I_{\min} = 18$ $I_{\text{av.}} = 341$)	56
รูปที่ 4.7 แสดงจุดแลททิซส่วนกลับของ C_6H_5HgBr ในแกนที่ตัดจาก (ก) เลย์เออร์ที่ 0	58
(ข) เลย์เออร์ที่ 1	58
รูปที่ 4.8 แสดงผลการทดลอง $N(Z)$ จากทฤษฎีและจากผลึก C_6H_5HgBr	67
รูปที่ 4.9 แสดงค่าแฟคเตอร์การกระเจิงของอะตอม Hg, Br, C และ H กับค่า $(\sin \theta)/\lambda$	70
รูปที่ 4.10 แสดงผลของแฟคเตอร์อุณหภูมิต่อแฟคเตอร์การกระเจิงของอะตอม	71
รูปที่ 4.11 แสดงวิลสันพลอต (Wilson plot) เพื่อหาค่าแฟคเตอร์อุณหภูมิและ สเกลสัมบูรณ์	74
รูปที่ 4.12 (ก) แสดงอะตอมในลattice ของผลึก	76
(ข) แสดง เวกเตอร์ระหว่างอะตอมต่าง ๆ	76
(ค) แสดง พิกัดที่ปรากฏในลattice แพทเทอรส์สัน	76
รูปที่ 4.13 แผนภาพแพทเทอรส์สันที่ระนาบ $u = 0.0$, $v = 0.0-0.5$, $w = 0.0-0.5$	77
รูปที่ 4.14 แผนภาพความหนาแน่นอิเล็กตรอนที่ระนาบ $x = 0.0$ $y = 0.0-0.5$ ที่ใช้ Hg 2 อะตอม และ Br 2 อะตอม เป็นแบบจำลองเฟลล์	79

รายการรูปประกอบ (ต่อ)

	หน้า
รูปที่ 4.15	แสดงผลการใช้อนุกรมฟูเรียร์ (Fourier series) แทนความหนาแน่น อิเล็กตรอน ตามรูปอนุกรมฟูเรียร์มี 13 เทอม (เส้นทึบได้จากอนุกรม ฟูเรียร์ เส้นไขว้ปลาแสดงความหนาแน่นอิเล็กตรอน) 84
รูปที่ 4.16	แสดงแผนภาพความหนาแน่นอิเล็กตรอนที่ใช้ตำแหน่ง Hg 2 อะตอม Br 2 อะตอม และ C 4 อะตอม (พิกัด 5,6,7 และ 8) เป็นแบบ จำลองเฟลล์ 85
	(ก) ระนาบที่ $x = 0, y = 0.0-0.5, z = 0.0-0.5$ 85
	(ข) ระนาบที่ $x = .12, y = 0.0-0.5, z = 0.0 - 0.5$ 86
	(ค) ระนาบที่ $x = .16, y = 0.0-0.5, z = 0.0-0.5$ 87
รูปที่ 4.17	แสดงตำแหน่ง C_{12}, C_{13}, C_{22} และ C_{23} ที่เป็นผลจากการคำนวณที่ระนาบ $x = 0, y = 0.0-0.5$ และ $z = 0.0-0.5$ 88
รูปที่ 5.1	(ก) แสดงอะตอมในหนึ่งหน่วยเซลล์มาตรฐาน 90
	(ข) แสดงความสัมพันธ์ระนาบวงแหวนเบนซินกับระนาบกระจก 90
รูปที่ 5.2	แสดงโครงสร้างของผลึก C_6H_5HgBr ในหนึ่งหน่วยเซลล์ของผลึก ... 99
รูปที่ 5.3	แสดงความสัมพันธ์ของระนาบวงแหวนเบนซิน และองค์สมมาตรแกน 2 ทบ (†) และระนาบกระจก (σ) ในหมู่สมมาตรสามมิติ C_{3mm} 100